

■-88 液体窒素による地盤凍結実験

株式会社藤田組技術研究所 正員 鎌田正孝  
吉野耕一

主たる、本報告は地下掘削の補助手段、軟弱地盤の一時的処理、湧水、漏水などの防止を目的として、液体窒素注入による凍結工法の実験について述べたものである。今回は初期(昭和38年3月~6月、昭和38年12月)の実験についてのみ報告し、その後の実験は後日報告として取り扱われる予定です。建設工事に對する地盤凍結工法は、我が国にも多くの実施事例があるが、これはほとんど冷媒循環による工法である。液体窒素利用による凍結工法については、まだその例がなりので、今後の研究開発の必要の一資料を得るための実験を行なった。

実験として、(1)法、(1)法、(1)法、(1)法は実験時の注入方法と液体窒素の容器を示したものであり、(1)法、(1)法は実験時の詳細である。また(1)法、(1)法は液体窒素の物理的性質を簡単に示したものである。(1)法、(1)法の凍結管(注入管と同じ)は、鋼製のφ10×L100m(地中深度)先端開放のもので、実験の種々により、途中にストレーナーを設けて凍結管もある。(後の実験結果では、注入管はSC-1でも充分であった)。次に液体窒素の容器はL0X-3000Aを使用し、その容量は100ℓ、重量は80kgである。また温度計は0~100℃、0~150℃測定可能なペンタン温度計を使用した。(後の温度測定に熱電対、抵抗温度計を用いる。)

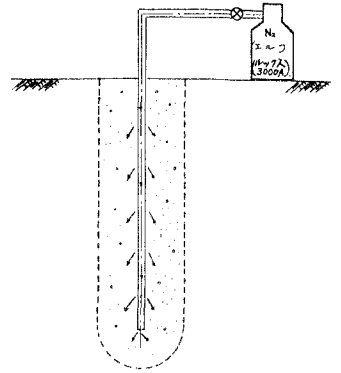


図-1. 液体窒素注入概略断面図。

実験に用いた試料の物理的性質および試料の熱的性質は次の通り。

(1) 物理的性質：粒度分析の結果は以下の通り。含水比 19%、孔隙比 0.52、比重 2.74、単位体積重量 2.15<sup>g/cc</sup>、乾燥密度 1.6<sup>g/cc</sup>、孔隙率 34.2%、各種含水率 0.342、である。

(2) 熱的性質：土の凍結前の密度 2.1<sup>g/cc</sup>、土の凍結前の比熱 0.34<sup>kcal/kg</sup>、凍結後の比熱 0.26<sup>kcal/kg</sup>、凍結前の熱伝導率 1.311<sup>kcal/mh</sup>、凍結後の熱伝導率 2.29<sup>kcal/mh</sup>、土の凍結前の温度伝率 1.77<sup>m/h</sup>、凍結後の温度伝率 4.19<sup>m/h</sup>、である。

実験方法は(1)法の鉄製の型枠に水と砂を投入し、試料を作成する。次に試料の中心部に凍結管を設置すると同時に各温度計を(1)法の位置する(各実験ごとに別々)、窒素注入前に各温度計を測定し、実験前の地中温度とし、凍結管頂部とエルジを連結し、注入を開始する。まずエルジの上部充満弁を除去し開放し、凍結管の先端部より液体窒素を流出する。そのときの注入圧力は1~2<sup>kg/cm<sup>2</sup></sup>、流量は1<sup>ℓ/min</sup>、平均とし、地中の温度変化に対しては5分間隔に記録

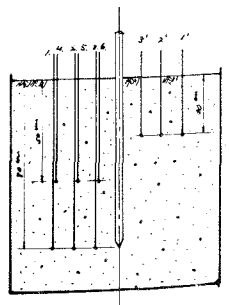
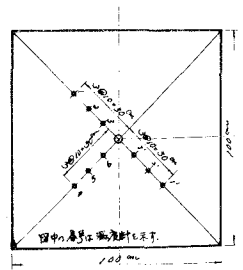


図-2. 注入時の平面断面概略図。

した。

結果と之の考察 図-4, 5は、それぞれ、実験の結果を示すものであって、図-4は凍結土、図-5は凍結時の温度変化を示すものである。凍結土：凍結土の確認は液体窒素注入後、約26時間とのままの状態に放置し、地中の温度差がなくなったときに、型枠内の凍結土を排除して行った。注入管先端部より流出した液体窒素は、瞬間的に周囲の土と接触すると同時に、それぞれ熱交換される。このとき、窒素の物理的性質により、液体より気体に変化し、常温のガスとなって土中の空隙を通過して地上面に放出されることとなる。このようにして、液体窒素を連続的に注入すると周囲の土は急激に凍結硬化する。温度分布：図-5はそのときの温度変化を示す図であり、10R, 20R, 30Rは凍結管(φ100mm)からの水平距離を示す。

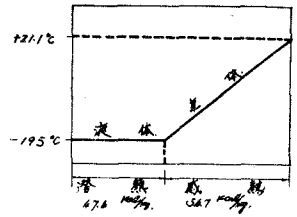


図-3. 液体窒素の物理的性質

液体窒素の注入量と比例して温度の急激な降下が見られ、注入終了までの100~125分間は、温度変化が著しい。30Rで約70°Cを示し、注入停止と同時に各点の温度は上昇する。その後の温度変化は、約26時間後、10R, 20R, 30Rとも大体同じである。図-5の左側の曲線は、凍結後の各水平距離に対する同一時間の温度分布を示すものであり、時間の経過とともに温度の上昇の状態を知ることはでき、全体の温度が同一になると後で融解することになる。また右側のグラフは、注入終了後の温度変化を示すものであって、注入後約26時間後、凍結が進行、その後凍結土の温度が均一になる傾向を示す。

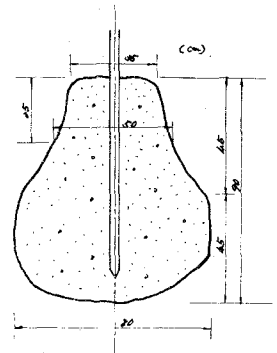


図-4. 凍結土

以上これらの実験より、本工法の利点および実用化のついで要約すると、①凍結可能な土質は、シルト、粘土および砂質土などいろいろあり、②流水中(φ100mm)でも凍結可能である。

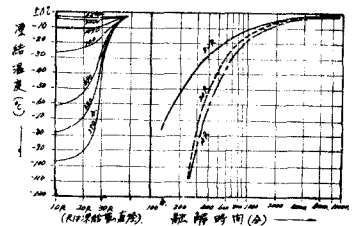


図-5. 凍結時の温度変化

③液体窒素の表面伝熱係数は25 kcal/m<sup>2</sup>h<sup>2</sup>であるので冷媒循環工法より凍結速度が非常に早い。④凍結管と注入管を同一管とし、何回も同一管を利用して注入が可能である。⑤凍結量、凍結速度は注入管の直径には関係なく、液体窒素の注入量と比例し、同時に液体窒素の必要量は土中の含水量と比例する。⑥設備が非常に少なくして施工できる。これなどがわかった。

また本工法の経済性も著しい場合、その大部分は、液体窒素の消費量を最小限に抑えなければならない。本工法には必ずしも問題が残っており、科学的種々の検証と関係したものであるが、前述多難の感がある。今後この種の問題の解明に関連分野の方々が積極的に取り組んでくれることを切望し、また、最後に、実験に当たって、種々の検査して下さる土木界に先出し、同時に液体窒素について色々教して下さる日本窒素(株)の方々に厚く御礼申し上げます。(なお本工法は特許申請中である。)

参考文献 鎌田正彦：液体窒素による地盤凍結実験[I]、土と基礎 Vol. 12, No. 10 (1964)。

鎌田正彦：液体窒素による地盤凍結実験[II]、土と基礎 Vol. 12, No. 11 (1964)。